

# تأثیر پارامترهای ریخته‌گری بر خواص مکانیکی و سلامت قطعات هوافضایی از آلیاژ A356 به روشن ریخته‌گری دقیق

علی نعمتی<sup>۱</sup>، ایوب حلوایی<sup>۲</sup>، ایمان مباشرپور<sup>۳</sup> و احمد رضا عباسیان<sup>۴</sup>

۱- کارشناسی ارشد، دانشگاه آزاد اسلامی واحد تهران جنوب

۲- استادیار، دانشگاه تهران، دانشکده متالورژی و مواد

۳- کارشناسی ارشد، پژوهشگاه مواد و انرژی

۴- کارشناسی ارشد، پژوهشگاه مواد و انرژی

Ahmadabbassian@gmail.com

## چکیده

در این پژوهش تأثیر سه متغیر گاززدایی مؤثر در ریخته‌گری دقیق بر خواص مکانیکی و سلامت قطعات، مورد بررسی قرار گرفته است. قطعه مورد بررسی یکی از قطعات هوایی موسوم به لولا می‌باشد که از نظر کلاس‌بندی قطعات هوایی درجه A<sub>1</sub> را به خود اختصاص داده و به دلیل پیچیدگی شکل ظاهری و کیفیت بالای مورد نیاز به روش ریخته‌گری دقیق و از جنس آلیاژ آلومینیوم A356 تولید می‌گردد. متغیرهای در نظر گرفته شده شامل مدت زمان دمتش گاز آرگون، دمای مذاب در حین گاززدایی و دبی گاز آرگون بوده است. پس از انجام عملیات آماده‌سازی قالب و تهیه مدل مومی، قطعات ریخته‌گری شده و مورد عملیات حرارتی قرار گرفتند. در نهایت قطعات به دست آمده مطابق با استانداردهای هوایی و با توجه به کلاس قطعات، مورد آزمایش‌های کنترل کیفی مانند رادیوگرافی، بررسی ابعادی، آزمایش کشش، سختی سنجی، بازرگانی با مایع نافذ و همچنین آنالیز شیمیایی قرار گرفته و در نهایت بهترین حالت از متغیرهای گاززدایی به منظور رسیدن به بهترین کیفیت تعیین گردید.

## واژه‌های کلیدی

ریخته‌گری دقیق، آلیاژ آلومینیم A356، متغیرهای ریخته‌گری، خواص مکانیکی

## ۱- مقدمه

استحکام بالا بسیار مناسب است[۱].

این آلیاژ به طور گستره‌های براي قطعات مختلف خودرو به کار گرفته می‌شود[۲]. اخیراً آلیاژ A356 به دلیل وزن سبک، قابلیت

آلیاژ آلومینیم A356 حاوی حدود 7 درصد سیلیسیم به دلیل سیالیت عالی مذاب و نیز قابلیت کسب استحکام بسیار بالا، ناشی از اثر پیر سخت‌شوندگی فاز، جهت ریخته‌گری آلیاژهای

جدول (۱): زمانبندی عملیات مومزدایی قالب سرامیکی

حالت	دبی گاز آرگون (L/h)	مدت زمان دمش گاز آرگون (min)	درجه حرارت مذاب حین گاززدایی (°C)
۴	۸۰	۶	۷۲۵
۵	۸۰	۸	۷۲۵
۶	۸۰	۱۰	۷۲۵
۷	۴۰	۶	۷۵۰
۸	۴۰	۸	۷۵۰
۹	۴۰	۱۰	۷۵۰

(°C)	۶۰	۱۰۰	۱۵۰	۲۳۰
(hr)	۲	۱/۳۰	۱	۱

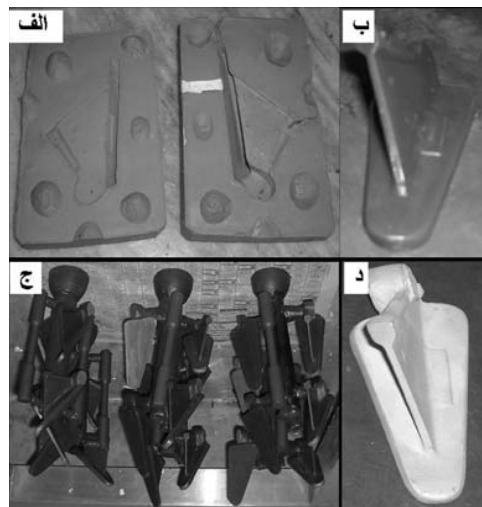
جدول (۲): زمانبندی عملیات پخت قالب سرامیکی

(°C)	۳۰۰	۳۸۰	۴۶۰	۵۶۰	۶۶۰	۷۳۰
(Zman(h))	۱	۱/۱۵	۱	۱/۳۰	۱	۲

## ۲- روش تحقیق

جهت انجام تحقیق، قالب قطعه لولا (Hinge) از سیلیکن نسوز و مدل مومی از موم زنبوری با نقطه ذوب  $75^{\circ}\text{C}$  ساخته شد. سپس عملیات خوشکردن مدل‌های مومی انجام پذیرفت. در این مرحله با طراحی سیستم راه‌گاهی مناسب، نمونه‌های مومی توسط راه‌گاه فرعی به راه‌گاه اصلی وصل شدند، خوشکه‌های به کار رفته در این تحقیق شامل ۴ قطعه لولا و ۲ نمونه کششی می‌باشند.

شکل (۱). برای تهیه قالب سرامیکی از گچ پاریس ( $\text{CaSO}_4$ ) با نسبت گچ به آب  $65\text{ g}/35\text{ g}$  استفاده گردید. عملیات مومزدایی و پخت مطابق با برنامه ذکر شده در جداول (۱) و (۲) انجام شد. در مرحله ریخته‌گری به منظور بررسی تأثیر مدت زمان دمش گاز آرگون بر خواص مکانیکی قطعات ریختگی، سه حالت در نظر گرفته شد که مشخصات این حالات در جدول (۳) نشان داده شده است.



شکل (۱): (الف) قالب سیلیکنی قطعه لولا (ب) مدل مومی قطعه لولا (ج) خوشکه‌های قطعه لولا و نمونه آزمایش کششی (د) نمونه فلزی لولا

جوش کاری و مقاومت به خوردگی بسیار عالی، جهت ساخت قطعات هوایی مورد استفاده قرار گرفته است [۳]. آلیاژهای آلومینیوم که برای قطعات هوایی به کار می‌روند باید ساختار متالوژیکی عالی و مقاومت به شکست مناسب و همچنین وزن و قیمت کم داشته باشند [۵] و [۴]. با استفاده از فرآیند ریخته‌گری دقیق می‌توان قطعات پیچیده را تولید کرد. بیشترین کاربرد این روش در هواپیماسازی و صنایع هوافضا می‌باشد و برای تولید پره‌های توربین و ریخته‌گری سوپر آلیاژهای پایه نیکل و کبالت نیز به کار می‌رود [۶].

با توجه به حساسیت بالای قطعات هوایی، به خصوص قطعات کلاس A، به منظور یاری رسانی به صنعت هوایی کشور با ساخت قطعه لولا (Hinge) از جنس آلیاژ آلومینیم A356 در کلاس A، به روش ریخته‌گری دقیق، به بررسی اثر برخی عوامل موثر در ریخته‌گری دقیق بر روی کیفیت نهایی قطعه تولید شده پرداخته شد.

جدول (۴): حالات ریخته‌گری به‌منظور بررسی تأثیر متغیرهای  
گاززادایی بر خواص مکانیکی و سلامت قطعات

حال	دی گاز آرگون (L/h)	مدت زمان دمش گاز آرگون (min)	درجه حرارت مذاب گاززادایی (°C)
۴	۸۰	۶	۷۲۵
۵	۸۰	۸	۷۲۵
۶	۸۰	۱۰	۷۲۵
۷	۴۰	۶	۷۵۰
۸	۴۰	۸	۷۵۰
۹	۴۰	۱۰	۷۵۰

۴- آزمایش سختی‌سنجدی: قطعات پس از عملیات حرارتی T6، مطابق با استاندارد ASTM E10 و توسط دستگاه سختی‌سنجد بربنل با قطر ساقمه ۲/۵ mm و مقدار نیروی kg ۶۲/۵ مورد آزمایش قرار گرفتند.

۵- آزمایش با مایع نافذ: قطعات پس از سختی‌سنجد طبق استاندارد 4089 FW B PS مورد بازرسی با مایع نافذ قرار گرفتند.

۶- آزمایش کشش: نمونه‌های کششی با توجه به استاندارد INSTRON300KN ASTM E8 تهیه شده و توسط دستگاه 4486 مورد آزمایش کشش قرار گرفتند.

۷- بررسی ساختار میکروسکوپی: به‌منظور بررسی ساختار میکروسکوپی قطعات ریختگی، قسمتی از یک قطعه لولا را بریده و پس از سنباده‌زنی نرم و پرداخت کاری سطح نمونه توسط محلول کلر حکاکی شد. در نهایت ساختار نمونه توسط میکروسکوپ نوری مورد بررسی قرار گرفت.

### ۳- نتایج و مباحث

آنالیز قطعات سه حالت اولیه مربوط به بررسی مدت زمان دمش گاز آرگون به ترتیب در جدول‌های (۷)، (۸) و (۹) نشان داده است.

جدول (۳): مشخصات حالات ریختگی انجام شده به‌منظور

بررسی تأثیر عنصر منیزیم

حال	مدت زمان دمش گاز آرگون (min)	درجه حرارت مذاب گاززادایی (°C)
۱	۶	۷۲۵
۲	۸	۷۲۵
۳	۱۰	۷۲۵

به‌منظور بررسی تأثیر دبی گاز آرگون و درجه حرارت مذاب گاززادایی بر خواص مکانیکی و سلامت قطعات، شش حالت مختلف در نظر گرفته شد که مشخصات این حالات در جدول (۴) ذکر گردیده است. در حین ورود مذاب به قالب پمپ خلاء روشن شده و اختلاف فشاری حدود ۲۵ kpa تا ۲۰ kpa پایان ریخته‌گری اعمال گردید. بعد از جدا کردن قطعات از راه‌گاه و عملیات ماسه پاشی (Sand blast) طبق استاندارد BPS 4139 عملیات حرارتی T6 روی نمونه‌ها انجام گردید. ترتیب آزمایش‌های متالورژیکی بر روی قطعه لولا (Hinge) به صورت ذیل بوده است:

۱- آنالیز شیمیایی: طبق دستورالعمل تولید (PWO) قطعه لولا، از هر ذوب یک نمونه انتخاب شده و توسط کوانتمتر آنالیز گردید.

۲- بررسی ابعادی: قسمت‌های مختلف قطعات ریختگی مانند، گوشه‌ها، پخ‌ها و زاویه‌ها با توجه به نقشه مربوطه و به کمک لوازم اندازه‌گیری مانند کولیس، شاعع سنج و غیره مورد بررسی قرار گرفت.

۳- آزمایش رادیوگرافی (X-Ray): آزمایش رادیوگرافی با توجه به جدول (۵) که تعداد عیوب مجاز در درجه‌های (Grades) مختلف را نشان می‌دهد و جدول (۶) که محدوده ناپیوستگی‌های غیرخطی از قبیل حفره‌های گازی، تخلخل و حفره‌های ماسه‌ای را نشان می‌دهد و بر طبق استاندارد BPS FW 4309 و توسط دستگاه Philips 450kv انجام گردید.

جدول (۵): حداکثر تعداد مجاز عیوب نایپوستگی در رادیوگرافی قطعه ریخته گری آلمینیم [۷].

نایپوستگی ها	GradA (Inch) 1/4 3/4	GradB (Inch) 1/4 3/4	GradC (Inch) 1/4 3/4	GradD (Inch) 1/4 3/4
حفره های گازی	هیچ	۱	۲	۵
تخلخل گازی (گرد)	هیچ	۱	۳	۷
تخلخل گازی (باریک)	هیچ	۱	۴	۵
حفره های انقباضی	هیچ	۱	۲	۳
انقباض اسفنجی	هیچ	۱	۲	۴
مواد خارجی (ا) چگالی کمتر	هیچ	۱	۲	۴
مواد خارجی (ب) چگالی بیشتر	هیچ	۱	۱	۴
ترک ها	هیچ	هیچ	هیچ	هیچ
بسه شدن سرد	هیچ	هیچ	هیچ	هیچ
ناهمواری سطحی		از تلورانس طراحی تجاوز نمی کند		
چابه جانی ماهیچه ها		از تلورانس طراحی تجاوز نمی کند		

جدول (۶): محدوده مجاز نایپوستگی های غیر خطی [۸].

Area	Major Diameter	Depth Maximum	Maximum Number
Critical	020InchMax	020Inch	4/1Inch sq
	021-060Inch	020Inch	1/1 Inch sq
Non-critical	030InchMax	030Inch	8/1 Inch sq
	031-125Inch	030Inch	1/1 Inch sq

قرار گرفته و نتایج آن در جدول (۱۰) نشان داده شده است. همان طور که در نمودارهای شکل های (۲) و (۳) مشاهده می شود با افزایش مدت زمان دمش گاز آرگون، استحکام تسلیم و نهایی قطعات کاهش یافته است. به نظر می رسد که این کاهش استحکام به دلیل سوختن عنصر منیزیم در دمای فوق گذار می باشد. با توجه به اینکه فاز رسوبی در عملیات حرارتی  $T_6$ ، فاز  $Mg_2Si$  است و عنصر منیزیم یکی از عناصر اصلی این فاز می باشد، بنابراین کاهش منیزیم، تأثیر قابل توجهی در خواص مکانیکی قطعات داشته و کاهش در استحکام تسلیم و نهایی را باعث می شود.

با توجه به نتایج بدست آمده از آنالیز قطعات سه حالت اولیه، می توان دریافت که افزایش مدت زمان دمش گاز آرگون به علت ماندن طولانی مذاب در دمای بالا باعث سوختن بیشتر عنصر منیزیم شده و کاهش این عنصر افت خواص مکانیکی را دربی خواهد داشت. دلیل تأثیر این عنصر بر خواص مکانیکی، تشکیل فاز رسوبی  $Mg_2Si$  بعد از عملیات حرارتی می باشد که موجب افزایش سختی و خواص مکانیکی آلیاژ می گردد.

## الف- تأثیر مدت زمان دمش گاز آرگون بر خواص مکانیکی قطعات ریختگی

به منظور بررسی تأثیر مدت زمان دمش گاز آرگون بر خواص مکانیکی قطعات ریختگی حالت های (۴)، (۵) و (۶) مورد بررسی

جدول (۹): نتیجه آزمایش کوانتومتری قطعه لولا در حالت ۳ (درصد وزنی)

Si	Fe	Cu	Mn	Mg
۶/۷۰	۰/۳۴	۰/۲۵	۰/۳۰	۰/۱۵
Cr	Ti	Al		
۰/۰۱	۰/۰۶	Base		

همان طور که در نمودارهای شکل های (۵) و (۶) مشاهده می شود با افزایش مدت دمش گاز آرگون، استحکام قطعات ریختگی مانند سه حالت قبل کاهش یافته است که به نظر می رسد این کاهش استحکام نیز به دلیل سوختن منیزیم می باشد. در این مرحله نیز علی رغم روند کاهشی استحکام، عدد استحکام قطعات در محدوده استاندارد بوده و نمونه ها مورد تایید می باشند. نمودار شکل (۷) سختی قطعات ریختگی حالت های (۷)، (۸) و (۹) را نشان می دهد که اعداد سختی در محدوده استاندارد می باشند.

### ب- تأثیر مدت زمان دمش گاز آرگون بر سلامت قطعات ریختگی

مجموع شکل های (۸) سلامت قطعات در حالات مختلف را نشان می دهد. در جدول های (۱۰) و (۱۱) تعداد مک موجود در قطعات در حالت های مختلف ارائه شده است. همان طور که مشاهده می شود با ۸ دقیقه گاززدایی قطعات سالم و بدون مک می باشند ولی با ۶ دقیقه دمش گاز آرگون، مدت زمان گاززدایی کافی نبوده و قطعه دارای یک مک بوده است و با ۱۰ دقیقه گاززدایی نیز از مدت زمان بهینه فاصله گرفته و زمان اضافی صرف انحلال دوباره گاز هیدروژن در مذاب شده است و قطعات حاوی ۳ و ۲ مک بوده اند.

شکل های (۱-۸)، (۲-۸)، (۳-۸) و (۴-۸) تصویر رادیو گرافی قطعات ریختگی معیوب حالت های (۴)، (۶)، (۷) و (۹) را به ترتیب نشان می دهد.

جدول (۷): نتیجه آزمایش کوانتومتری قطعه لولا در حالت ۱ (درصد وزنی)

Si	Fe	Cu	Mn	Mg
۷/۷۷	۰/۲۵	۰/۰۰۳	۰/۰۳	۰/۴۵
Cr	Ti	Al		
۰/۰۰۸	۰/۰۴	Base		

جدول (۸): نتیجه آزمایش کوانتومتری قطعه لولا در حالت ۲ (درصد وزنی)

Si	Fe	Cu	Mn	Mg
۷/۲۰	۰/۲۰	۰/۱۵	۰/۲۶	۰/۳۰
Cr	Ti	Al		
۰/۰۱	۰/۰۳	Base		

با توجه به استاندارد QQ-A-601F که حداقل استحکام تسلیم قطعات را ۲۰/۰۰۰ psi و حداقل استحکام نهایی قطعات را ۳۰/۰۰۰ در نظر گرفته است، حالت های (۴) و (۵) از نظر استحکام مورد تأیید ولی حالت (۶) از نظر استحکام نهایی کمتر از حد استاندارد می باشد.

نمودار شکل (۴) سختی قطعات ریختگی در این سه حالت را نشان می دهد. همان طور که ملاحظه می کنید با افزایش مدت زمان گاززدایی، سختی قطعات تغییر محسوسی نداشته و با توجه به جدول (۷) در استاندارد QQ-A-601F که حداقل سختی قطعات را ۷۵ برینل تعیین کرده است، عدد سختی در محدوده استاندارد بوده و قطعات مورد تأیید می باشند.

با توجه به نتایج بدست آمده از حالت های (۴)، (۵) و (۶) و به منظور بررسی بیشتر تأثیر مدت زمان گاززدایی بر خواص مکانیکی سه حالت (۷)، (۸) و (۹) در نظر گرفته شد که نتایج آن در جدول (۱۱) آورده شده است.

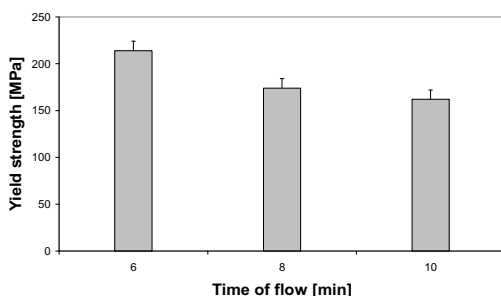
در این مرحله با تغییر دبی گاز آرگون و درجه حرارت مذاب هنگام گاززدایی نسبت به حالت های (۴)، (۵) و (۶)، تأثیر مدت زمان گاززدایی بر خواص مکانیکی قطعات ریختگی مورد بررسی قرار گرفته است.

جدول (۱۰): نتایج بدست آمده از تأثیر پارامترهای مؤثر بر گاززدایی در حالت‌های (۴)، (۵) و (۶)

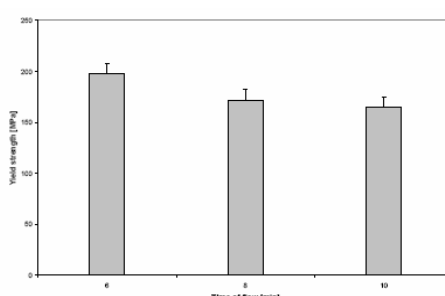
حالت	(Psi) استحکام تسلیم	(Psi) استحکام نهائی	عدد سختی (HB)	تعداد مک
۴	(۱۹۸) ۲۸۶۲۰	(۲۲۰) ۳۱۸۰۰	۱۰۳	۱
۵	(۱۷۲) ۲۴۸۵۰	(۲۱۱) ۳۰۴۸۰	۱۰۱	۰
۶	(۱۶۵) ۲۳۹۰۰	(۲۰۳) ۲۹۳۴۰	۱۰۶	۲

جدول (۱۱): نتایج بدست آمده از تأثیر پارامترهای مؤثر بر گاززدایی در حالت‌های (۷)، (۸) و (۹)

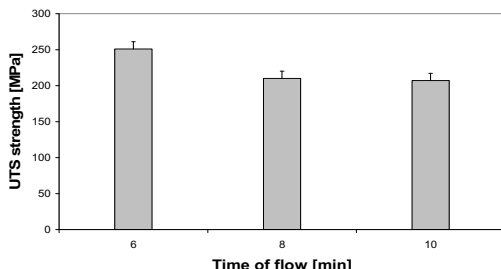
حالت	(Psi) استحکام تسلیم	(Psi) استحکام نهائی	عدد سختی (HB)	تعداد مک
۷	(۲۱۴) ۳۱۰۰۰	(۲۵۱) ۳۶۳۸۰	۹۵	۱
۸	(۱۷۴) ۲۵۱۵۰	(۲۱۰) ۳۰۳۵۰	۱۰۱۹۸	۰
۹	(۱۶۲) ۱۳۶۰۰	(۲۰۷) ۳۰۰۰۰	۱۰۶۱۰۱	۳



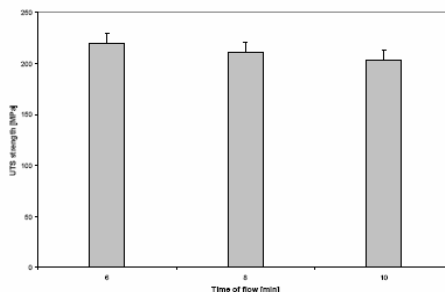
شکل (۵): نمودار استحکام تسلیم قطعات ریختگی حالت‌های ۸، ۷ و ۹



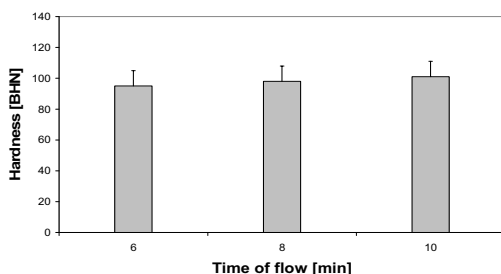
شکل ۶: نتایج استحکام تسلیم ریخته گری حالت‌های ۸ و ۹



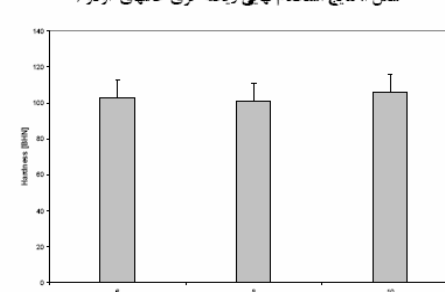
شکل (۷): نمودار استحکام نهائی قطعات ریختگی حالت‌های ۸، ۷ و ۹



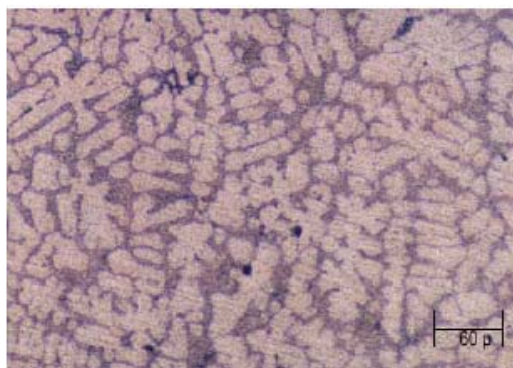
شکل ۷: نتایج استحکام نهائی ریخته گری حالت‌های ۸ و ۹



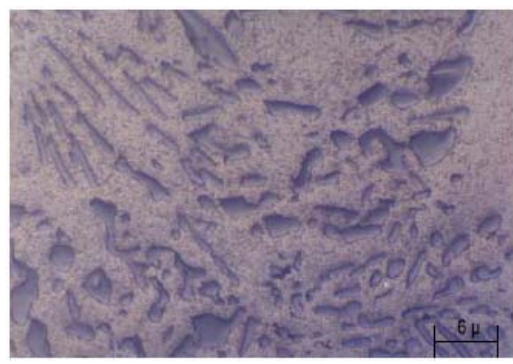
شکل (۸): نمودار سختی قطعات ریختگی حالت‌های ۸، ۷ و ۹



شکل ۸: نتایج تست سختی قطعات ریخته گری حالت‌های ۸ و ۹



شکل (۹): تصویر میکروسکوپی نمونه Hinge با بزرگنمایی ۵۰



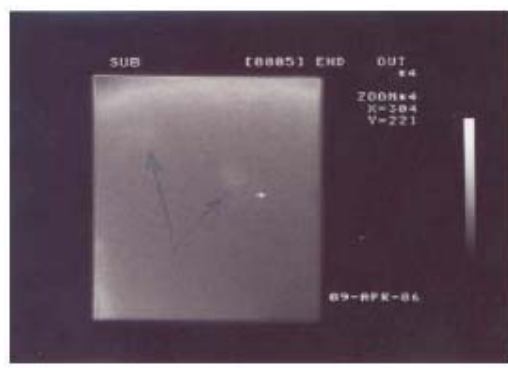
شکل (۱۰): تصویر میکروسکوپی نمونه Hinge با بزرگنمایی ۵۰۰

#### بررسی ساختار میکروسکوپی:

در مرحله نهایی بهمنظور بررسی ساختار تشکیل شده در قطعات ریختگی، بعد از عملیات حرارتی نمونه‌ها مورد آزمایش متالوگرافی و بررسی ساختاری قرار گرفتند. همان‌طور که در شکل‌های (۹) و (۱۰) مشاهده می‌شود، بعد از انجام عملیات حرارتی، فاز ناشی از تحول یوتکنیک تشکیل شده است. می‌توان گفت در ساختار مشاهده شده، ذرات میله‌ای شکل روشن و تیره که در کنار هم قرار گرفته‌اند مربوط به تحول یوتکنیک است و این ساختار به حالت سوزنی نزدیک می‌باشد.

#### ۴- نتیجه‌گیری

با توجه به پارامترهای موجود و نتایج بدست آمده می‌توان گفت باید توجه داشت پارامترهای گاززدایی را باید به نحوی کنترل



شکل (۸-۳): تصویر رادیوگرافی قطعه حالت (۷) ریخته‌گری



شکل (۸-۴): تصویر رادیوگرافی قطعه حالت (۹) ریخته‌گری

#### تأثیر دبی گاز آرگون بر خواص مکانیکی قطعات ریختگی:

با توجه به اینکه تغییرات دمای مذاب در حین گاززدایی در مراحل در نظر گرفته شده ناچیز است. می‌توان تأثیر دبی گاز آرگون بر خواص مکانیکی قطعات را مورد بررسی قرار داد. نتایج حاکی بر این است که استحکام قطعات حالت‌های (۴)، (۵) و (۶) کمتر از حالت‌های (۷)، (۸) و (۹) می‌باشد، که این می‌تواند به دلیل اعمال دبی ۸۰ لیتر بر ساعت در این مرحله باشد که در واقع دبی ۲ برابر شده است. دبی زیاد باعث تلاطم در ذوب شده، که این تلاطم انحلال گاز هیدروژن در مذاب را افزایش می‌دهد و در نتیجه گاززدایی به خوبی انجام نشده و به دلیل احتمال وجود مک، استحکام قطعات کاهش می‌یابد.

- [3] I.J. Pomear, Light Alloys, Edward Arnold, London, p. 144, 1988.
- [4] S. Kennerknecht, X. Dumant, R. Tombari, P. Van Biljon, "The Effect of Processing Parameters on the Fatigue Properties of D357 Investment Castings" J.Metals 49 22, 1997.
- [5] P.E. Magnusen, R.J. Bucci, A.J. Hinkle, J.R. Brockenbrough,H.J. Konish, "Analysis and prediction of microstructural effects on long-term fatigue performance of an aluminum aerospace alloy"International Journal of Fatigue 19 275-283, 1997.
- [6] P. Solomon, "Composition for Making Same and Method of Investment Casting", U.S Patent, PP.3, 754, 943. 1973.
- [7] ASTM / E155, Standard, USA, 1984.
- [8] Bell Process Specification, BPS FW 4163, Bell Helicopter Company, USA, 1972.

نمود که کمترین اثر حذف عنصر منیزیم را داشته باشیم. همچنین مشخص شد که متغیر دمای مذاب در حین گاززدایی تأثیر چندان زیادی بر روی سختی، استحکام تسیلیم و استحکام نهایی قطعات ساخته شده نداشته است.

در مورد مدت زمان دمش گاز آرگون هم می‌توان گفت تغییر این عامل تأثیر زیادی بر روی سختی قطعات نهایی ندارد ولی از تأثیر آن بر روی استحکام نمی‌توان صرفنظر کرد به طوری که با افزایش میزان زمان دمش گاز آرگون بهدلیل بهتر انجام شدن عملیات گاززدایی و خروج گازهای مضری چون هیدروژن و کاهش احتمال به وجود آمدن مک، خواص مکانیکی افزایش یافته است. در نهایت با توجه به میزان حضور عنصر منیزیم و پارامترهای گاززدایی باید شرایط بهینه را انتخاب نمود.

## ۵- مراجع

- [1] Min Ha Lee, Jae Joong Kim, Kyung Hoon Kim, Nack J. Kim, Sunghak Lee, Eui W. Lee "Effects of HIPping on high-cycle fatigue properties of investment cast A356 aluminum alloys" Materials Science and Engineering A340 123-129, 2003.
- [2] J.Z. Yi, P.D. Lee, T.C. Lindley, T. Fukui "Statistical modeling of microstructure and defect population effects on the fatigue performance of cast A356-T6 automotive components" Materials Science and Engineering A 432 59–68, 2006.